



COLLÈGE
DE FRANCE
— 1530 —

Algorithmes quantiques

Circuits quantiques, premiers algorithmes

05-05-2021

Frédéric Magniez

Professeur invité sur la chaire Informatique et sciences numériques

En partenariat avec Inria

Année académique 2020-2021

frederic.magniez@college-de-france.fr

Partie 2 - Les bases algorithmiques

- Concepts du calcul et principales méthodes algorithmiques
- Mise en évidence de propriétés algébriques (déchiffrement)
- Optimisation et applications algorithmiques

05 mai 2021



Cours : Circuits quantiques, premiers algorithmes : portes universelles, algorithmes de Deutsch-Jozsa et Bernstein-Vazirani, supériorité des algorithmes quantiques

Séminaire : Langages graphiques pour programmer et raisonner en informatique quantique
Simon PERDRIX, *CNRS, Nancy*

12 mai 2021

Cours : Transformée de Fourier quantique I : réalisation, estimation de phase, algorithmes de Simon et de Shor (recherche de période et factorisation) et généralisations récentes

Séminaire : Le problème du sous-groupe caché, Miklos SANTHA, *CNRS, Paris et CQT, Singapour*

19 mai 2021

Cours : Optimisation quantique : algorithme de Grover, estimateurs quantiques, chaînes de Markov quantiques, heuristiques quantiques

Séminaire : A Unified Framework for Quantum Walk Search, Stacey JEFFERY, *CWI, Amsterdam*



Superposition : état, mesure, transformation unitaire

Superposition

- S : ensemble d'états classiques
 $S = \{0, 1\}$, $S = \{0, 1\}^n$, $S = \{1, \dots, N\}$
- Superposition sur S
 Vecteur à |S| coordonnées complexes $(\alpha_x)_{x \in S}$

- Notation Dirac

$$|\psi\rangle = \sum_{x \in S} \alpha_x |x\rangle, \quad \alpha_x = \langle x | \psi \rangle$$

Mesures

- Base de calcul

$$\sum_{x \in S} \alpha_x |x\rangle \xrightarrow{\text{Mesure}} |\alpha_x|^2 \text{ "x"} |x\rangle$$
- Base orthonormée $(|\psi_x\rangle)_{x \in S}$

$$|\psi\rangle \xrightarrow{\text{Mesure } (|\psi_x\rangle)_{x \in S}} |\langle \psi_x | \psi \rangle|^2 \text{ "x"} |\psi_x\rangle$$

Transformations unitaires

- Rotations et symétries G

$$|x\rangle \xrightarrow{G} |\psi_x\rangle$$

$$\sum_{x \in S} \alpha_x |x\rangle \xrightarrow{G} \sum_{x \in S} \alpha_x |\psi_x\rangle$$

avec $(|\psi_x\rangle)_{x \in S}$ base orthonormée

- Notation matricielle

$$G = (|\psi_x\rangle)_{x \in S} = (\langle x | \psi_y \rangle)_{x, y \in S}$$

avec G unitaire : $G^* = ({}^t \overline{G}) = G^{-1}$

$$|\psi\rangle \xrightarrow{G} G|\psi\rangle$$

Registres multiples 1/2 : produit tensoriel

Vision multi-registre

- A, B : ensembles d'états classiques
- $S = A \times B = \{(x, y) : x \in A, y \in B\}$ ensemble des états combinés
- Superposition sur $A \times B$
 Vecteur $(\gamma_{x,y})_{x \in A, y \in B}$
- Notation Dirac

$$|\psi\rangle = \sum_{x \in A, y \in B} \gamma_{x,y} |x, y\rangle$$

Vision équivalente !

Vision produit tensoriel

- Superposition sur A
 Vecteur $(\alpha_x)_{x \in A}$

$$|\psi_1\rangle_A = \sum_{x \in A} \alpha_x |x\rangle_A$$
- Superposition sur B
 Vecteur $(\beta_y)_{y \in B}$

$$|\psi_2\rangle_B = \sum_{y \in B} \beta_y |y\rangle_B$$
- Superposition produit sur $A \times B$

$$|\psi_1\rangle_A \otimes |\psi_2\rangle_B = \sum_{x \in A, y \in B} \alpha_x \beta_y |x\rangle_A \otimes |y\rangle_B$$
- Superposition générale

$$|\psi\rangle_{AB} = \sum_{x \in A, y \in B} \gamma_{x,y} |x\rangle_A \otimes |y\rangle_B$$

 Si non produit, alors enchevêtrée (ou intriquée)

Registres multiples 2/2 : transformations partielles

Transformations unitaires

- G_A une transformation unitaire sur les superpositions de A
- G_B une transformation unitaire sur les superpositions de B
- $G_A \otimes G_B$ est défini sur les états séparés

$$(G_A \otimes G_B)(|\psi_1\rangle_A \otimes |\psi_2\rangle_B) = G_A(|\psi_1\rangle_A) \otimes G_B(|\psi_2\rangle_B)$$

et étendu par linéarité

$$(G_A \otimes G_B) \left(\sum_{xy} \gamma_{xy} |x, y\rangle_{AB} \right) = \sum_{xy} \gamma_{xy} G_A(|x\rangle_A) \otimes G_B(|y\rangle_B)$$

Mesures partielles (sur A)

- Se ramener à une décomposition sur la base de A

$$\sum_{x \in A} \alpha_x |x\rangle_A |\psi_x\rangle_B \xrightarrow{\text{Mesure A}} |\alpha_x|^2 \text{ "x"} |x\rangle_A |\psi_x\rangle_B$$

Remarques

- Faire une opération G_A sur A, revient à faire l'opération $G_A \otimes \text{Id}_B$ sur $A \times B$
- Les transformations G_A sur A commutent avec les opérations G_B sur B
- Mesurer sur A puis B, est identique à tout mesurer

La genèse du calcul

Modèles : théorie et technologie liées

- Machine de Turing, lambda calcul [Church 1936, Turing 1936]
Calculabilité, Universalité (programme en mémoire)
Accès séquentiel à la mémoire
- Circuits logiques [Shannon 1949]
Adaptés au calcul parallèle, plus proches des circuits imprimés
- Machines RAM (random-access machine) [Shepherdson, Sturgis 1963]
Adaptées aux accès directs à la mémoire
- ..., calcul parallèle, réseaux de neurones...
- Tous ces modèles de calcul se simulent les uns les autres de façon efficace
Thèse de Church-Turing : version quantitative/algorithmique

Langages

- Assembleur (1949)
- Fortran (1957)
- Cobol (1959), Algol (1960), Lisp (1960)
- ...
- 1980-90 : C++, Java, OCaml...

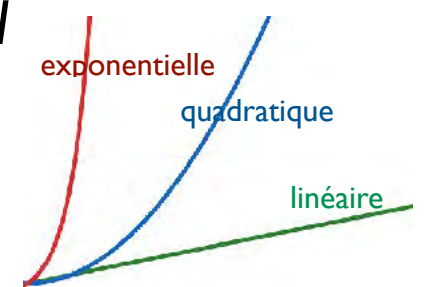
Question de Richard Feynman

- Exposé invité où il questionne :
***Can quantum systems
be probabilistically simulated
by a classical computer?***



Argumentations

- [...] Quantum mechanics can't seem to be imitable by a local classical computer.
 - Explosion des ressources nécessaires
- Can you do it with a new kind of computer - a quantum computer? [...] It's not a Turing machine, but a machine of a different kind. [...] I'm not sure that it's sufficient.
 - Remise en cause de la version quantitative de la thèse de Church-Turing



Construction théorique

- David Deutsch, 1985
Machine de Turing quantique, premiers algorithmes surprenants
- Ethan Bernstein et Umesh Vazirani, 1993
Machine de Turing quantique universelle et efficace
Des avantages exponentiels, mais pour des problèmes artificiels



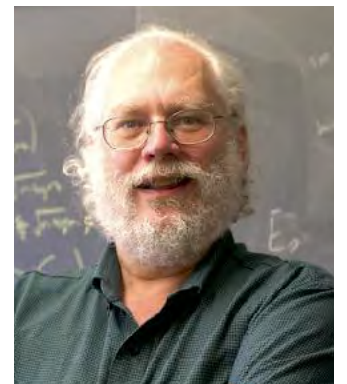
David Deutsch



Umesh Vazirani

Le développement algorithmique

- Succès : Daniel Simon puis Peter Shor, 1994
Remise en cause d'une grande partie des techniques de chiffrement massivement utilisées
- Inquiétude : Instabilité du calcul
Réponse : Codes correcteurs quantiques, Peter Shor 1995

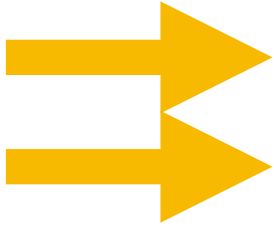


Peter Shor

Réponse à la question de Feynman ?

- Seth Lloyd 1996 : Simulation hamiltonienne
- Caractère universel
- Une panoplie de plus en plus grande et variée d'algorithmes depuis...

Modèles

- 
- Machine de Turing quantique [Deutsch 1985], [Bernstein, Vazirani 1993]
 - Circuits quantiques [Yao 1993]
 - Calcul par mesure [Raussendorf, Briegel 2001]
 - Calcul adiabatique quantique [Farhi, Goldstone, Gutmann, Sipser 2000]
 - Calcul QRAM [Conventions for quantum pseudocode - Knill'96]

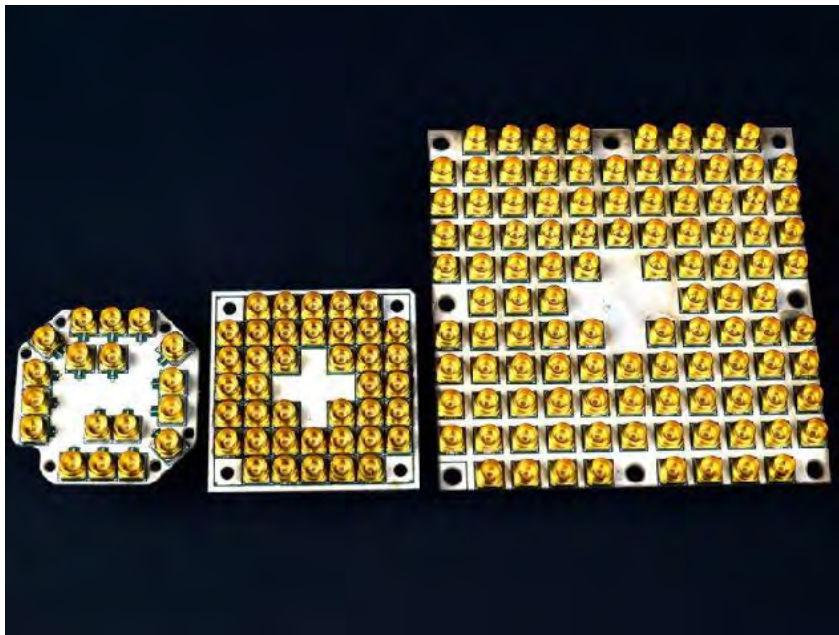
Technologies

- Les débuts : 2 qubits [ENS (Haroche) 1995], 5 qubits [IBM (Chuang) 2000]
- En 2020/21 : 50-100 qubits
 - Superconducteurs : Alibaba, Google, IBM, Intel, Rigetti...
 - Trappes à ions : IonQ / à atomes de Rydberg : Pasqal
- Des prévisions optimistes
 - Google & IBM : 1 000 qubits en 2023, 1 million vers 2030

Langages

- 
- Cirq (Google), Q# (Microsoft), Qiskit (IBM) (<https://qiskit.org>), ...
 - Des langages fonctionnels : Liquid, Quipper, ...
 - Emulation ou connection dans le cloud !

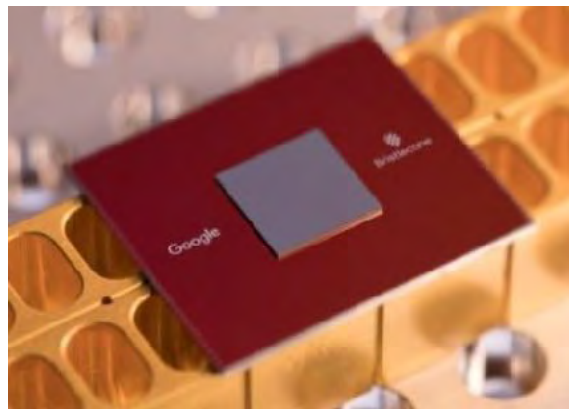
Les circuits



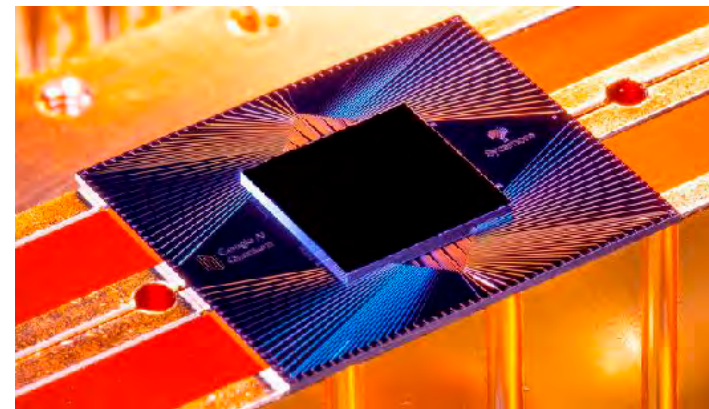
January 2018: Intel's 49-Qubit Chip Shoots for Quantum Supremacy



December 2020: An IBM Quantum Hummingbird r2 Processor (this device has 65 qubits, versus the r1's 53 qubits).



March 2018: Bristlecone, first Google's Quantum Processor with 72-qubit



October 2019: New 54-qubit processor, named "Sycamore", that is comprised of fast, high-fidelity quantum logic gates.

Mathématiques

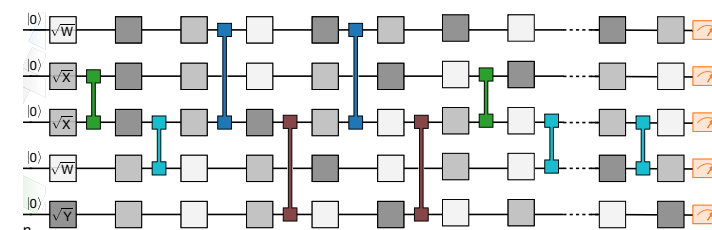
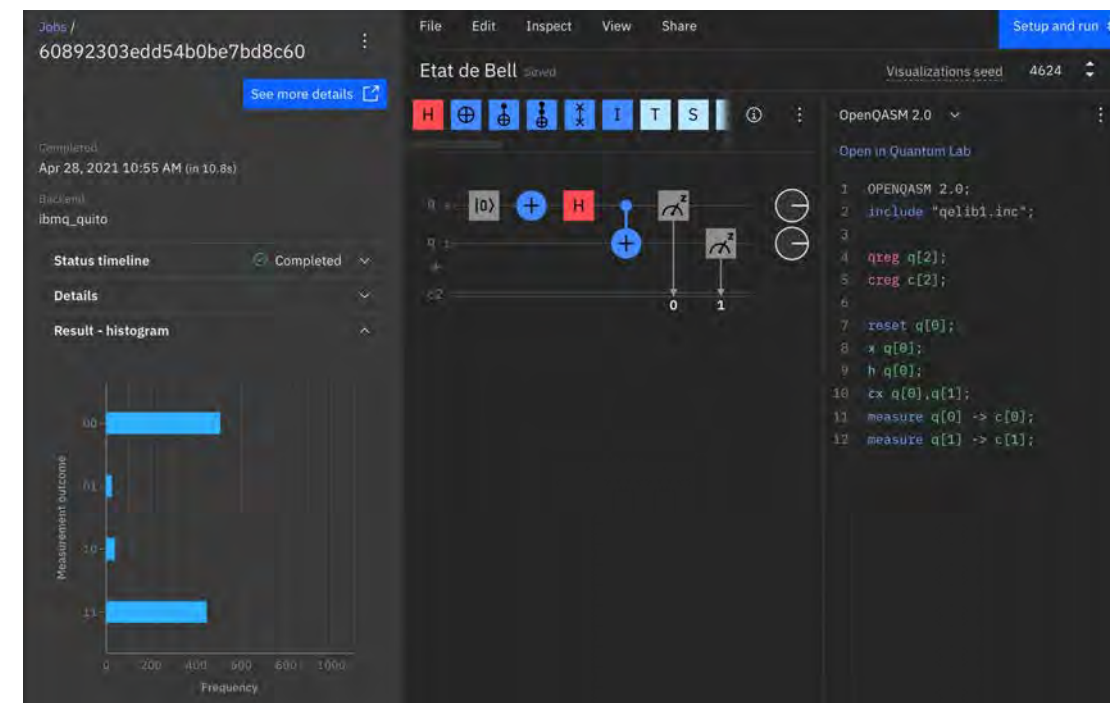
- Analogues des circuits logiques
- Universels pour le calcul
- Adaptés pour décrire des transformations complexes

Informatiques

- Adaptés pour l'apprentissage
<https://quantum-computing.ibm.com>
- Adaptés pour la programmation
<https://qiskit.org>

Technologiques

- Proches de certaines expériences
 Dans le cloud ou de “suprématie quantique”
- L'expérience de Google - 2019
 Statistiques provenant de l'observation d'un circuit quantique



Portes

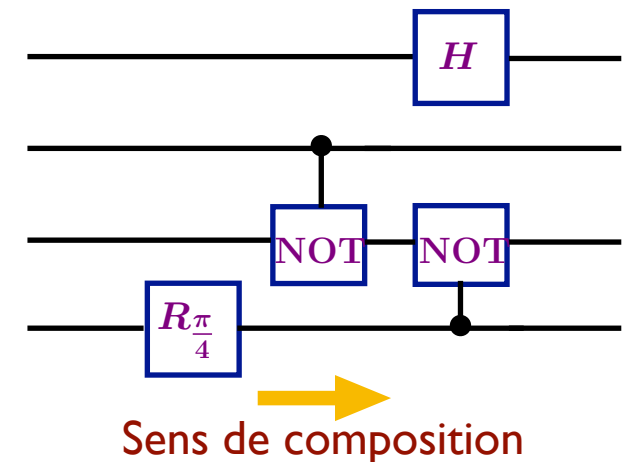
- Une **porte quantique** est une transformation unitaire sur au plus 3 qubits
 $G \in \mathcal{U}(2^k), \quad k = 1,2,3$

Composition et produit tensoriel



Circuit

- Un **circuit quantique** est la composition de portes (étendues par $\otimes \text{Id}$)
- Complexités : taille (nb de portes) et profondeur



Théorème

- Toute transformation unitaire peut se décomposer en un circuit de portes agissant sur au plus 2 qubits



Théorème

- La porte **c-NOT** et toutes les portes sur 1-qubit permettent de réaliser toute transformation unitaires (avec au plus $O(n4^n)$ portes et des qubits auxiliaires)

Remarque

- Famille finie de porte → Relâcher la notion d'universalité

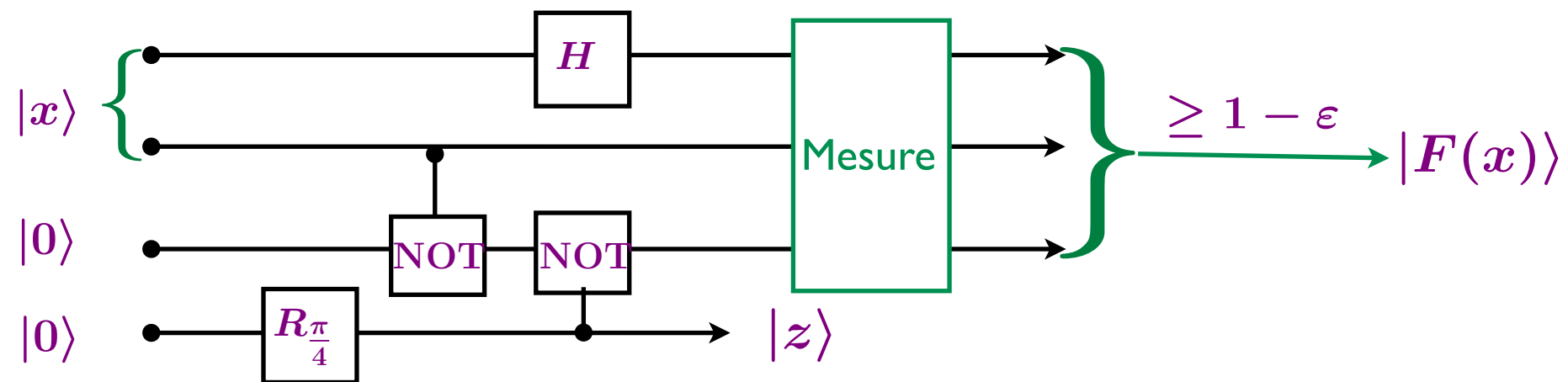
Théorème

- Les familles suivantes permettent d'approcher toute transformation unitaire
 - $H, R_{\pi/4}$ et **c-NOT** (base tolérante aux erreurs)
 - NOT**, \sqrt{H} et **c-NOT**
 - NOT**, H et **Toffoli (c-c-NOT)** (transformations réelles uniquement)
- Le nombre de portes nécessaire ne dépend pas de la famille universelle (à une constante multiplicative près)
- La plupart des transformations unitaires nécessitent $\Omega(2^n \log(1/\varepsilon)/\log n)$ portes pour être approchées à distance ε (norme d'opérateur)

Définition

- Un **circuit** $U=U_L U_{L-1} \dots U_2 U_1$ **calcule** une fonction f avec erreur ϵ si

$$\text{pour toute entrée } x : \sum_z |\langle F(x), z | U | x, 0^k \rangle|^2 \geq 1 - \epsilon$$



- La **taille** d'un circuit est le nombre de portes utilisées pour le réaliser
- La **complexité approchée** (resp. **exacte**) d'une fonction est la taille minimale du circuit qui la calcule avec erreur $1/3$ (resp. 0)

Remarques

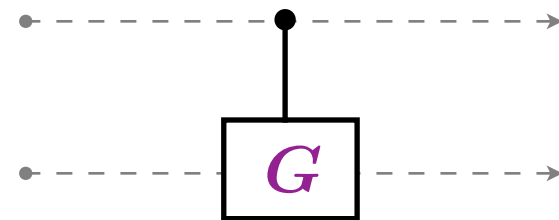
- La complexité d'une fonction ne dépend pas du choix de base universelle
- L'erreur peut arbitrairement être réduite à ϵ par $\log(1/\epsilon)$ itérations suivies d'un vote majoritaire (classique)
- Peut s'étendre à des systèmes non binaires

Théorème : Mesure retardée

- Une fonction calculable par un circuit avec des mesures intermédiaires l'est aussi par un circuit **comparable** avec uniquement une mesure à la fin.
 Au prix de garder ce registre quantique...

Outil : Le "IF THEN ELSE" quantique

- Opération contrôlée



$$c-G|0b\rangle = |0b\rangle$$

$$c-G|1b\rangle = |1\rangle G|b\rangle$$

Théorème : Mesure implicite

- Inversement, tout registre qui n'est plus utilisé autrement que pour contrôler des opérations peut être **supposé observé**

Premiers algorithmes quantiques

Problème à Oracle

- L'oracle possède
 - $f: \{0,1\} \rightarrow \{0,1\}$
- Question possible
 - Que vaut $f(0)$? $f(1)$?
- Tâche
 - Décider si $f(0)=f(1)$

Classiquement

- 2 questions sont nécessaires

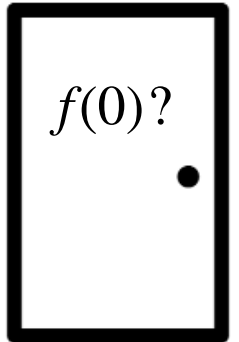
Quantiquement

- 1 seule question en superposition suffit
- Solution :

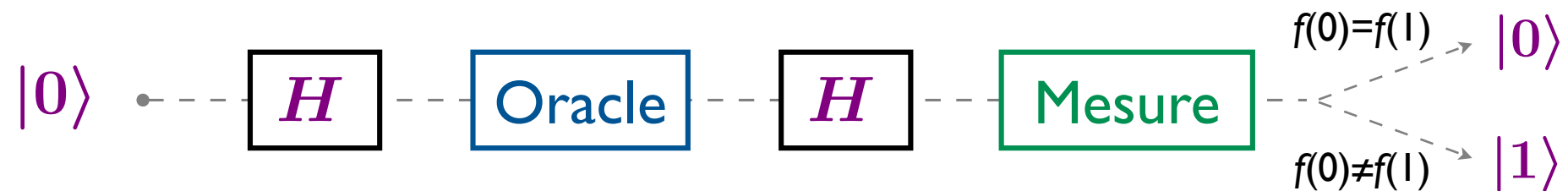
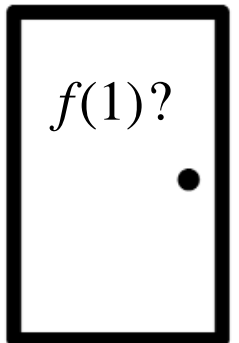


Prêtresse de Delphes
John Collier, 1891

Porte 0



Porte 1



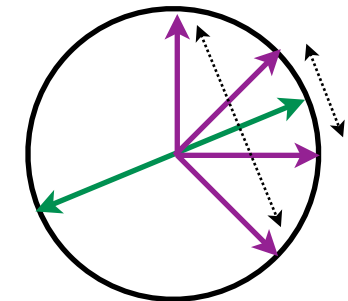
 $x \mapsto f(x)$ peut ne pas être réversible !

Implémentation quantique de f

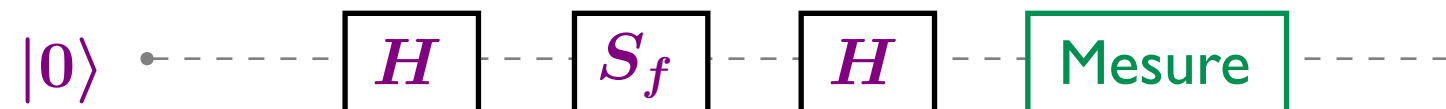
$$|b\rangle \text{ --- } \boxed{S_f} \text{ --- } (-1)^{f(b)} |b\rangle$$

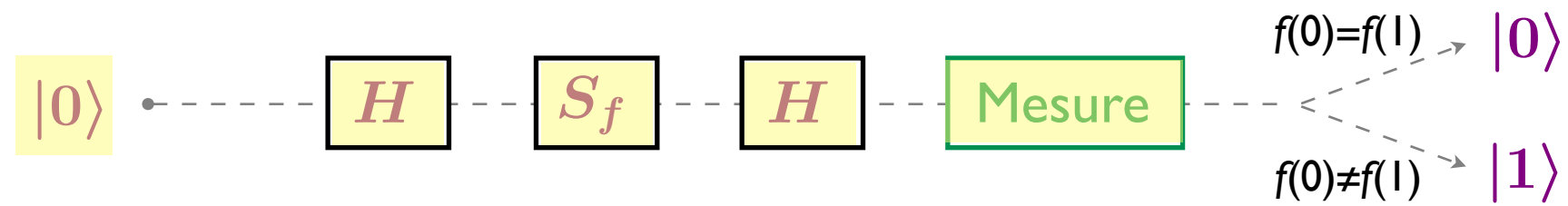
Porte de Hadamard

$$|b\rangle \text{ --- } \boxed{H} \text{ --- } \frac{1}{\sqrt{2}}(|0\rangle + (-1)^b |1\rangle)$$



Circuit quantique





Initialisation : $|0\rangle$

Parallélisation : $\frac{1}{\sqrt{2}}(|0\rangle + |1\rangle)$

Evaluation de f : $\frac{1}{\sqrt{2}}((-1)^{f(0)}|0\rangle + (-1)^{f(1)}|1\rangle)$

Interférences : $\frac{1}{2}((-1)^{f(0)}(|0\rangle + |1\rangle) + (-1)^{f(1)}(|0\rangle - |1\rangle))$

Etat final : $\frac{1}{2}(((-1)^{f(0)} + (-1)^{f(1)})|0\rangle + ((-1)^{f(0)} - (-1)^{f(1)})|1\rangle)$

exemple : $n = 4$

Problème à Oracle

- L'oracle possède
 - $f : \{0,1\}^n \rightarrow \{0,1\}$ constante ou équilibrée
- Question possible
 - Que vaut $f(x)$?
- Tâche
 - Décider si f est constante ou équilibrée

Solutions

- $1 + 2^{n-1}$ questions classiques sont nécessaires
- 1 question en superposition suffit
 - mais il faut n qubits...
- Mais $\log(1/\epsilon)$ questions probabilistes suffisent pour garantir une erreur d'au plus ϵ



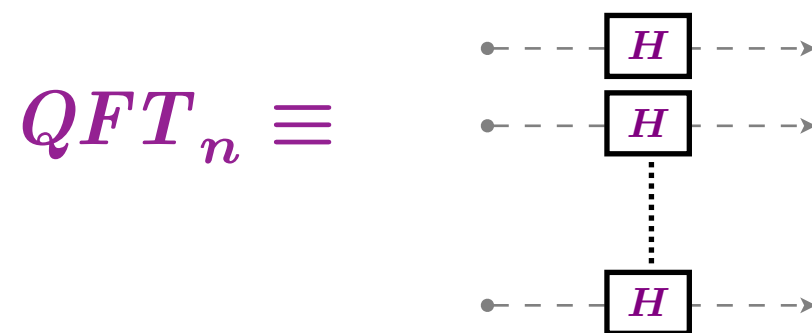
Prêtresse de Delphes
John Collier, 1891

- $f(0000) \neq 0$
- $f(0001) \neq 0$
- $f(0010) \neq 0$
- $f(0011) \neq 0$
- $f(0100) \neq 0$
- $f(0101) \neq 0$
- $f(0110) \neq 0$
- $f(0111) \neq 0$
- $f(1000) \neq 0$
- $f(1001) \neq 0$
- $f(1010) \neq 0$
- $f(1011) \neq 0$
- $f(1100) \neq 0$
- $f(1101) \neq 0$
- $f(1110) \neq 0$
- $f(1111) \neq 0$

Implémentation quantique de f



Transformée de Fourier quantique

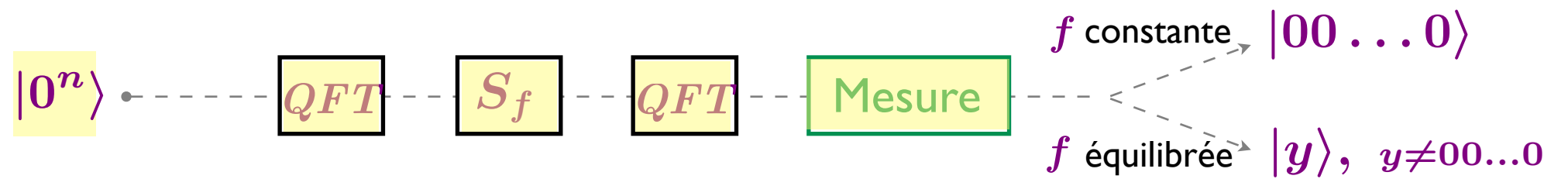


$$QFT_n |x\rangle = \frac{1}{2^{n/2}} \sum_y (-1)^{x \cdot y} |y\rangle$$

avec $x \cdot y = \sum_i x_i y_i \pmod{2}$

Circuit quantique





Initialisation : $|00 \dots 0\rangle$

Parallélisation : $\frac{1}{2^{n/2}} \sum_{x \in \{0,1\}^n} |x\rangle$

Evaluation de f : $\frac{1}{2^{n/2}} \sum_{x \in \{0,1\}^n} (-1)^{f(x)} |x\rangle$

Interférences : $\frac{1}{2^n} \sum_{x,y \in \{0,1\}^n} (-1)^{f(x)+x \cdot y} |y\rangle$

Etat final : $\left(\frac{1}{2^n} \sum_{x \in \{0,1\}^n} (-1)^{f(x)} \right) |00 \dots 0\rangle + \sum_{y \neq 00 \dots 0} \alpha_y |y\rangle$

Problème

- Oracle : $f : \{0,1\}^n \rightarrow \{0,1\}$ une fonction
telle que $f(x) = a \cdot x = a_1x_1 \oplus a_2x_2 \oplus \dots \oplus a_nx_n$
pour une valeur $a \in \{0,1\}^n$ fixée mais inconnue
- Sortie : a

Nombre d'évaluations de f

- Probabiliste : n
Requêtes $f(0^{i-1}10^{n-i}) = a_i$, pour $i=1,2,\dots,n$
- Quantique : 1

Circuit quantique





Initialisation : $|00\dots 0\rangle$

Parallélisation : $\frac{1}{2^{n/2}} \sum_{x \in \{0,1\}^n} |x\rangle$

Evaluation de f : $\frac{1}{2^{n/2}} \sum_{x \in \{0,1\}^n} (-1)^{a \cdot x} |x\rangle = QFT|a\rangle$

Interférences : $QFT^2|a\rangle$

Etat final : $|a\rangle$

Du classique au quantique

Transformation

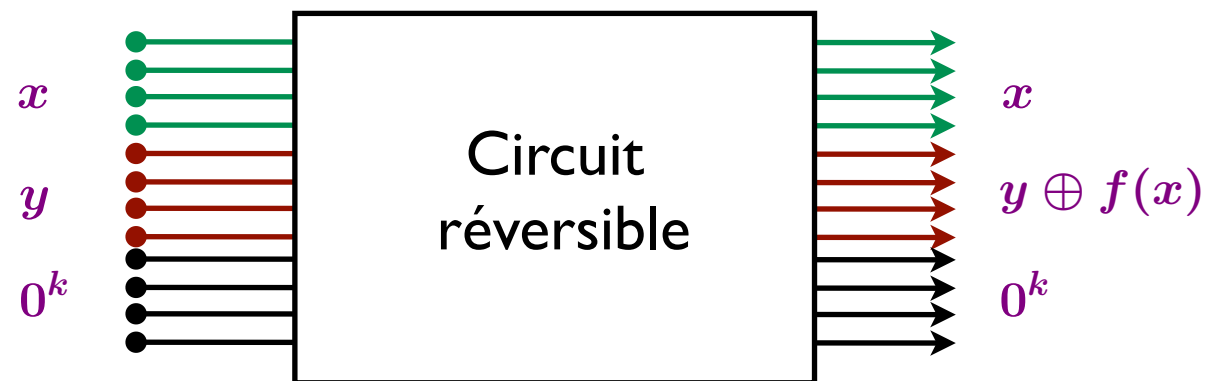
- Transformer le calcul classique en circuit logique réversible
AND, NOT, OR sont universels pour le calcul logique
Toffoli = c-c-NOT est universel pour le calcul logique réversible
- Un circuit réversible est aussi un circuit quantique
(puisqu'il permute les états "classiques")

Problèmes

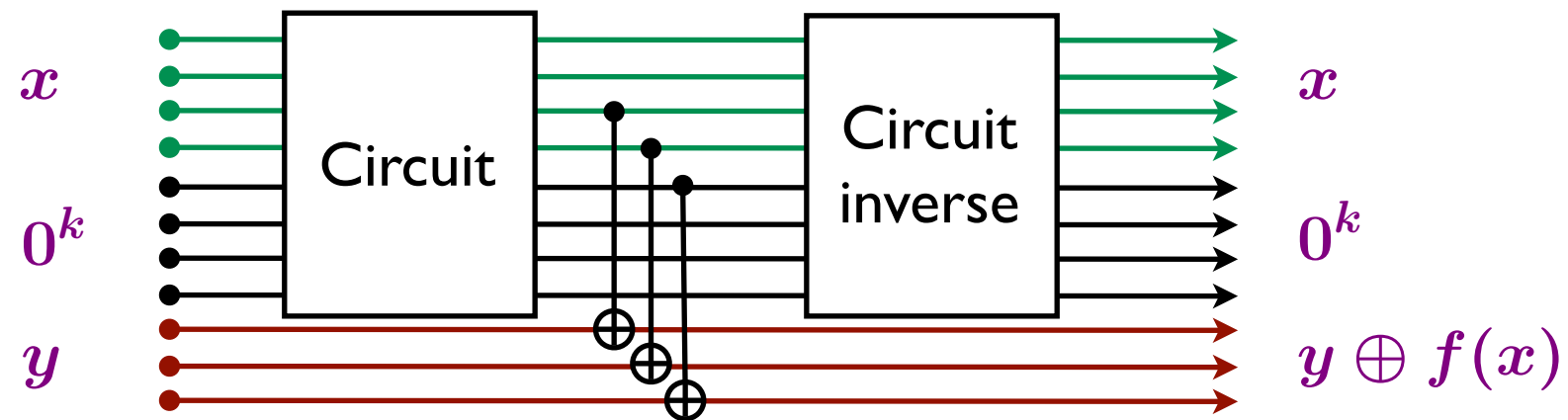
- Cas des calculs probabilistes
Simuler l'aléa avec des qubits $H|0\rangle = (|0\rangle + |1\rangle)/\sqrt{2}$
- Quel est le coût de la transformation ?
Si une fonction f peut être calculée par un circuit logique de taille L et de profondeur d , alors f peut aussi l'être par un circuit réversible de taille $O(L)$ et de profondeur $O(d)$
Mais avec $O(L)$ bits supplémentaires
Peut être optimisé [Bennett 1973]
- Forme normale : réinitialiser les bits supplémentaires utilisés

Théorème

- Dans le théorème précédent on peut demander que le circuit soit en **forme normale** :



Preuve



Remarque

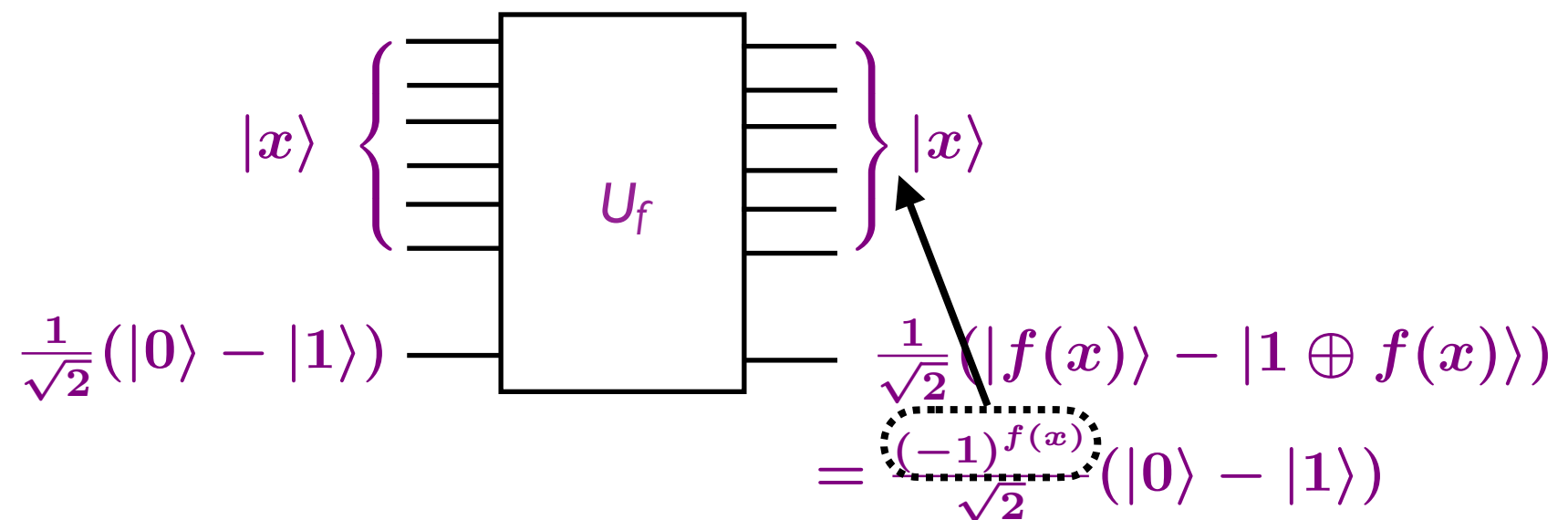
- Il en est de même pour tout calcul quantique !

Deux formes normales

- Fonction booléenne : $f : \{0, 1\}^n \rightarrow \{0, 1\}$
- Forme normale 1 : $U_f : |x\rangle|0\rangle \mapsto |x\rangle|f(x)\rangle$
 $|x\rangle|y\rangle \mapsto |x\rangle|y \oplus f(x)\rangle$
- Forme normale 2 : $S_f : |x\rangle \mapsto (-1)^{f(x)} |x\rangle$

Réaliser S_f avec U_f

- Observons : $U_f \left(|\psi\rangle \otimes \frac{|0\rangle - |1\rangle}{\sqrt{2}} \right) = (S_f|\psi\rangle) \otimes \frac{|0\rangle - |1\rangle}{\sqrt{2}}$

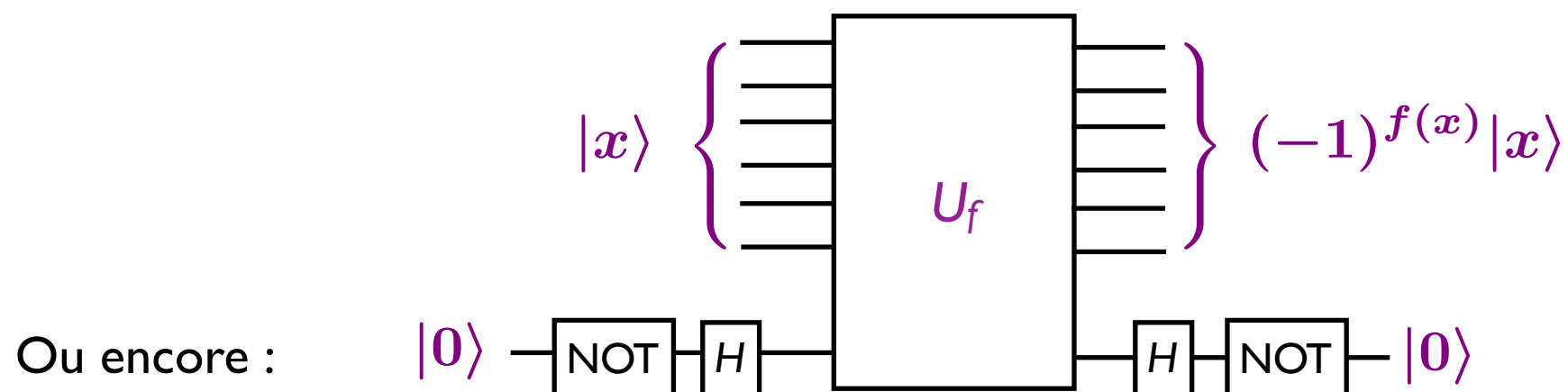


Deux formes normales

- Fonction booléenne : $f : \{0, 1\}^n \rightarrow \{0, 1\}$
- Forme normale 1 : $U_f : |x\rangle|0\rangle \mapsto |x\rangle|f(x)\rangle$
 $|x\rangle|y\rangle \mapsto |x\rangle|y \oplus f(x)\rangle$
- Forme normale 2 : $S_f : |x\rangle \mapsto (-1)^{f(x)} |x\rangle$

Réaliser S_f avec U_f

- Observons : $U_f \left(|\psi\rangle \otimes \frac{|0\rangle - |1\rangle}{\sqrt{2}} \right) = (S_f|\psi\rangle) \otimes \frac{|0\rangle - |1\rangle}{\sqrt{2}}$



Des circuits quantiques aux algorithmes quantiques

Notion d'uniformité

- Pour être utilisable, un circuit doit être codé par un objet fini
- Une famille de circuits (C_n) est un algorithme si elle est définie par un algorithme classique qui prenant en entrée n fournit la suite des portes de C_n (“description” de C_n)

Complexité

- Complexité en temps d'une famille uniforme de circuit
Temps pour décrire C_n + Temps pour simuler C_n
- Complexité en espace
Espace pour décrire C_n + Espace pour simuler C_n

Pourquoi s'arrêter là ?

Ressources

- Mémoire classique (en fait inutile mais pratique !) : en bits ou autre
- Mémoire quantique : en qubits ou autre

Opérations quantiques

- Préparer un qubit/registre quantique dans un état “classique”
- Appliquer une porte (ou un circuit) quantique définie “classiquement”
- Mesurer dans la base “classique”

Contrôle

- Par un algorithme classique (uniformité) qui peut alterner
calcul classique
opérations quantiques définies par sa mémoire classique

Le programme Qiskit

```
# We need a circuit with n qubits, plus one auxiliary qubit
# Also need n classical bits to write the output to
bv_circuit = QuantumCircuit(n+1, n)

# put auxiliary in state  $(|0\rangle - |1\rangle)/\sqrt{2}$ 
bv_circuit.h(n)
bv_circuit.z(n)

# Apply Hadamard gates before querying the oracle  $U_f$ 
for i in range(n):
    bv_circuit.h(i)

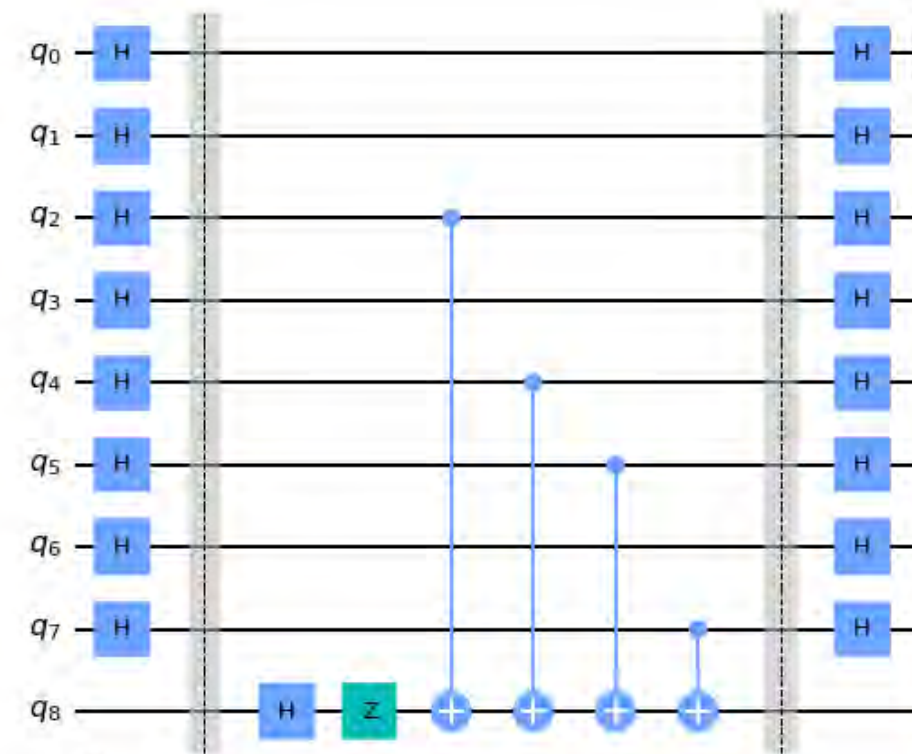
# Apply the oracle defined by another programme
bv_circuit += oracle

# Apply Hadamard gates after querying the oracle
for i in range(n):
    bv_circuit.h(i)

# Measurement
for i in range(n):
    bv_circuit.measure(i, i)
```

```
# hidden string
a = "10110100"
# reverse a to fit qiskit's qubit ordering
a = a[::-1]
n = len(a)
oracle = QuantumCircuit(n+1)

# Place cNOT-gates
for i in range(n):
    if a[i] == '1':
        oracle.cx(i, n)
```



Bernstein-Vazirani

- Problème

Entrée : Oracle $f : \{0,1\}^n \rightarrow \{0,1\}$ tq $f(x) = a \cdot x$

Sortie : a

- Solution

BV	Requêtes	Temps
Classique	n	$\Omega(n)$
Quantique	1	$O(n)$

Version récursive : *Recursive Fourier Sampling*

- Exemple à 2 niveaux

Entrée : Oracles $f, g : \{0,1\}^n \times \{0,1\}^n \rightarrow \{0,1\}$ tq pour tout x, y

$$f(x, y) = a_x \cdot y \quad \text{avec } a_x \in \{0,1\}^n$$

$$g(x, a_x) = b \cdot x \quad \text{avec } b \in \{0,1\}^n \quad (\text{et } g(x, y) = 0 \text{ si } y \neq a_x)$$

Sortie : b

- Solution :

Simuler la fonction $F(x) = g(x, a_x)$

Utiliser l'algorithme précédent

2 niveaux	Requêtes	Temps
Classique	n^2	$\Omega(n^2)$
Quantique	≤ 3	$O(n)$

Simulation d'un oracle

- Objectif : simuler S_F avec $F(x) = g(x, a_x) = b \cdot x$

- Etat initial :

$$|x, 0\rangle$$

1. Appliquer le circuit de BV sur 2e registre avec l'oracle pour f (à x fixé)

$$|x, a_x\rangle$$

2. Appeler l'oracle g

$$(-1)^{g(x, a_x)} |x, a_x\rangle = (-1)^{b \cdot x} |x, a_x\rangle$$

3. Inverser le circuit de BV à l'étape 1

$$(-1)^{b \cdot x} |x, 0\rangle$$

Bilan

- 2 niveaux

Requêtes : 3 - Temps : $2n + 2 \times 2n = 6n$

- Extension à plusieurs niveaux

Classique : $T(i + 1) \geq nT(i)$

Quantique : $T(i + 1) \leq 2T(i) + 2n$

log n niveaux	Requêtes	Temps
Classique	$n^{\log n}$	$\Omega(n^{\log n})$
Quantique	$\leq n$	$O(n^2)$

- Réfutation de la thèse de Church-Turing quantitative (avec oracle) !

Modèles, complexité, portes universelles

- Quantum Complexity Theory
E. Bernstein, U. Vazirani. SIAM J. Comput., 26(5), 1997
- Classical and Quantum Computation
A. Yu. Kitaev, A. H. Shen, M. N. Vyalyi. American Mathematical Society

Programmation

- Circuits
<https://quantum-computing.ibm.com>
- Qiskit
<https://qiskit.org>

Séminaire du cours !

- Langages graphiques pour programmer et raisonner en informatique quantique
avec Simon Perdrix, CNRS, Nancy